

Р. Г. Якунов

**ПРИБЛИЖЕННОЕ РЕШЕНИЕ ЗАДАЧИ
О ДИНАМИКЕ ЦИЛИНДРИЧЕСКОЙ ОБОЛОЧКИ,
НАХОДЯЩЕЙСЯ В ГРУНТЕ, НА ПОВЕРХНОСТИ
КОТОРОГО ДЕЙСТВУЕТ ПОДВИЖНАЯ НАГРУЗКА**

Задача о воздействии подвижной нагрузки на подземные сооружения связана с исследованием взаимодействия конструкции с окружающей средой и падающей волной, очень сложна, решается численными методами. Но получить достаточно строгие аналитические решения также важно. Они необходимы для проверки точности численных схем и имеют самостоятельное значение.

1. Пусть по поверхности полупространства, заполненного мягким грунтом, движется волна нагрузки длиной l с постоянной скоростью фронта D . Волну принимаем треугольной формы, которая по мере распространения не меняется, функция давления в волне имеет вид (рис. 1)

$$(1.1) \quad p_{00} = P_0(1 + y)H(Dt_0 - x_0), \quad -1 \leq y \leq 0,$$

где $H(Dt_0 - x_0)$ — единичная функция; $y = y_0/l$; $y_0 = x_0 - Dt_0$. В полупространстве на глубине H_0 находится круговая тонкостенная пустотелая цилиндрическая оболочка радиусом R_0 и толщиной стенки h . Требуется определить напряжения и деформации оболочки под действием волны нагружения, возникающей в полупространстве в результате действия подвижной нагрузки (1.1).

При определении параметров волны и движения среды используем метод [1], где решена квазистатическая задача о распространении двумерных волн в идеальной неупругой среде. Принимаем, что диаграмма объемной деформации среды при нагружении и разгрузке линейна, но различна. На фронте происходит мгновенное нагружение, за фронтом — разгрузка среды.

Рассмотрим случай, когда скорость D больше скорости распространения нагрузочных деформаций в грунте a , меньше скорости деформаций разгрузки ($a \leq D \leq a_1$). Тогда движение среды происходит в области в виде клина, заключенной между фронтом волны нагружения и границей среды. Давление в грунте в области возмущения в подвижной цилиндрической системе координат r_1, α (см. рис. 1), связанной с фронтом нагрузки, определяется по формуле

$$(1.2) \quad p(r_1, \alpha) = p_0 \left\{ 1 + \frac{r_1 \sin(\alpha + \beta + \zeta)}{\sin(\beta + \zeta)} - \sum_{n=1,2,3,\dots}^{\infty} \frac{(-1)^n r_1^{\alpha_n} \sin[\alpha_n(\alpha - \alpha^+) + \zeta]}{\alpha_n [\pi n - (\zeta + \beta)]} \right\}, \quad r_1 \leq 1,$$

$$p(r_1, \alpha) = p_0 \sum_{n=1,2,3,\dots}^{\infty} \frac{(-1)^n r_1^{-\beta_n} \sin[\beta_n(\alpha - \alpha^+) - \zeta]}{\beta_n [\pi n + (\zeta + \beta)]}, \quad r_1 > 1.$$

Здесь $p_0 = \frac{P_0}{\rho D^2}$; $r_1 = kr$; $k^2 = 1 - \frac{D^2}{a_1^2}$; $\sin \beta = \frac{a}{D}$; $\operatorname{tg} \zeta = \frac{k}{k_1}$; $k_1 = \operatorname{ctg} \beta$; $a^2 = \frac{K_H}{\rho}$; $a_1^2 = \frac{K_p}{\rho}$; $\alpha_n = \frac{1}{\beta} (\pi n - \zeta)$; $\beta_n = \frac{1}{\beta} (\pi n + \zeta)$; ρ — плотность среды;

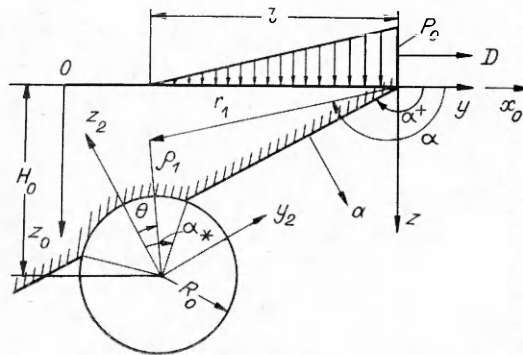


Рис. 1

α^+ — угловая координата фронта возмущения в среде; K_H, K_p — объемные модули упругости нагрузочной и разгрузочной ветвей диаграммы сжатия. Координаты полярной и прямоугольной подвижной систем координат связаны зависимостями $r^2 = z^2 + y_1^2, y_1 = yk^{-1}, z = r \sin \alpha, y_1 = r \cos \alpha$. В подвижной системе координат параметры волны и движения среды от времени не зависят.

При совпадении скоростей ($D = a$) угол $\beta = \pi/2$,

$$(1.3) \quad p(r_1, \alpha) = p_0 \left\{ 1 + r_1 \left[\left(\frac{z\alpha}{\pi} - 1 \right) \cos \alpha + \frac{2}{\pi} (\ln r_1 - 1) \sin \alpha \right] - \sum_{n=1,2,3,\dots}^{\infty} \frac{(-1)^n r_1^{2n+1} \cos [(2n+1)(\alpha - \alpha^+)]}{\pi n (2n+1)} \right\}, \quad r_1 \leq 1,$$

$$p(r_1, \alpha) = p_0 \sum_{n=1,2,3,\dots}^{\infty} \frac{(-1)^n r_1^{-(2n+1)} \cos [(2n+1)(\alpha - \alpha^+)]}{\pi (n+1)(2n+1)}, \quad r_1 > 1.$$

Если считать разгрузку среды жесткой, т. е. происходящей без изменения ранее приобретенной плотности, то давление за фронтом волны нагружения в среде имеет вид

$$(1.4) \quad p(r_1, \alpha) = p_0 \left\{ 1 + \frac{r_1 \sin(\alpha + 2\beta)}{\sin 2\beta} + \sum_{n=1,2,3,\dots}^{\infty} \frac{(-1)^n r_1^{\kappa_n} \sin[\kappa_n(\alpha - \alpha^+) + \beta]}{\kappa_n(\pi n - 2\beta)} \right\}, \quad r_1 \leq 1,$$

$$p(r_1, \alpha) = p_0 \left\{ -\frac{\sin \alpha}{2r_1 \beta} + \sum_{n=1,2,3,\dots}^{\infty} \frac{(-1)^n r_1^{-\gamma_n} \sin[\gamma_n(\alpha - \alpha^+) - \beta]}{\gamma_n(\pi n + 2\beta)} \right\}, \quad r_1 > 1,$$

где $\kappa_n = 1 - \pi n / \beta$; $\gamma_n = 1 + \pi n / \beta$. Возможны также случаи $D > a_1$ или $a_1 = \infty, \beta = \pi/2$, которые рассматриваются аналогично.

В начальный момент времени фронт волны нагружения соприкасается с оболочкой в точке $\theta = 0$ (см. рис. 1). С течением времени фронт волны продвигается, увеличивается угол обхвата волной оболочки, который обозначим $\pm \alpha_*(t)$. В пределах угла $-\alpha_* \leq \theta \leq \alpha_*$ оболочка подвергается действию волновой нагрузки, фронт которой перемещается в окружном направлении. В последующем для описания давления используем полярную систему координат ρ_1, θ , связанную с центром оболочки. Путем параллельного переноса и поворота координатных осей y, z переходим к системе y_2, z_2 и затем к полярной системе ρ_1, θ , причем учитываем изменение масштаба по оси r , которое использовано при выводе формул (1.2)–(1.4). Системы координат r_1, α и ρ_1, θ связаны соотношениями

$$(1.5) \quad \alpha = \text{arctg}(\Delta_1/\Delta_2), \quad r_1 = \Delta_1 \sin \alpha + \Delta_2 \cos \alpha.$$

Здесь $\Delta_1 = Hk - \rho_1 \cos(\theta - \beta)$; $\Delta_2 = \rho_1 \sin(\theta - \beta) - \frac{1}{\sin \beta} (H \cos \beta - \rho_1) - t$;

$H = H_0/l$; $\rho_1 = \rho_*/l$; $t = Dt_0/l$. Между координатой фронта волновой нагрузки и временем в период обхвата существует зависимость

$$\alpha_*(t) = \arccos \left(1 - \frac{t \sin \beta}{R} \right), \quad t \sin \beta < R, \quad \alpha_*(t) = \pi/2, \quad t \sin \beta > R, \quad R = R_0/l.$$

Безразмерное время обхвата половины оболочки нагрузкой $t_+ = R/\sin \beta$.

Численный пример. Полупространство заполнено песчаным грунтом плотностью $\rho = 1,35 \cdot 10^3$ кг/м³, диаграмма сжатия которого описывается степенной зависимостью $p = p^0 \varepsilon^n$, где $p^0 = 372$ МПа, ε — объемная деформация, показатель степени $n = 3$ [2]. При определении давления (1.2)–(1.4) диаграмму аппроксимируем линейными функциями с объемными модулями упругости $K_H = 11,3$ МПа, $K_p = 180$ МПа. Значению K_H соответствует скорость упругой волны в данном грунте $a = 91$ м/с,

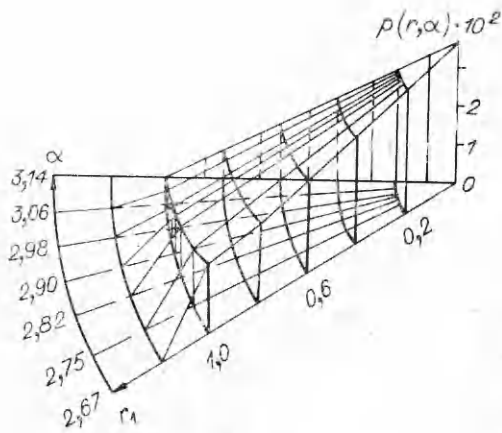


Рис. 2

$= 2$ м, $D = 200$ м/с. Оболочка расположена на глубине $H_0 = 1$ м, радиус оболочки $R_0 = 0,5$ м, $h = 0,01$ м.

На рис. 2 приведена эпюра давления в грунте в зависимости от координат r_1 и α . Как видно, в пределах $0 \leq r \leq 1$ давление на фронте волны скачкообразно возрастает, затем с увеличением угла α уменьшается и при $\alpha = \pi$ приходит к значению, определяемому формулой (1.1). При $r_1 > 1,2$ давление мало, в узкой зоне вблизи $\alpha \sim \alpha^+$ фронта оно положительно, с увеличением α меняет знак и на границе $z = 0$ приходит к нулю. Изменение давления по радиусу в диапазоне $0 \leq r \leq 1$ близко к линейному.

В случае воздействия давления (1.2)—(1.4) подземные сооружения оказываются нагруженными подвижной нагрузкой. На рис. 3 представлен график давления на круговой цилиндрической поверхности радиуса $\rho_* = 0,2275$ м в зависимости от угла θ при $t = 0,05; 0,15; 0,30; 0,40$ (линии 1—4). Стрелками показано направление движения фронта нагрузки в данные моменты времени. Как видно, вначале давление в области $-\alpha_* \leq \theta \leq \alpha_*$ близко к равномерному. С увеличением времени угол обхвата оболочки возрастает, давление становится неравномерным, в момент времени $t_+ = 0,25 \alpha_*$ достигает значения $\pm \pi/2$.

2. Отражение плоской ударной пластической волны от плоской преграды при нормальном падении и падении под углом рассмотрено в [3, 4]. При определении волновой нагрузки оболочку считаем жесткой, неподвижной, дифракционными явлениями пренебрегаем и применяем принцип изолированного элемента. Тогда, используя результаты [3, 4], выражение локального коэффициента отражения записываем в форме

$$(2.1) \quad K_0 = K_* \cos \theta,$$

где $K_* = 1 + \sqrt{n}$ — коэффициент отражения при нормальном падении фронта волны; θ — угол падения в момент отражения. После отражения давление на оболочку изменяется так, как изменяется давление (1.2)—(1.4) в области $-\pi/2 \leq \theta \leq \pi/2$ в окрестности радиуса R_0 .

В случае перемещения оболочки как жесткого цилиндра или деформации окружающая среда оказывает этому перемещению сопротивление. Силу сопротивления среды принимаем пропорциональной радиальному перемещению оболочки и равной $L_* w_0$ (L_* — коэффициент пропорциональности (постели), w_0 — радиальное перемещение оболочки).

Используем безразмерные величины

$$w = w_0/R_0, \quad v = v_0/R_0, \quad p = P/\rho D^2, \quad b^2 = h^2/(12R_0^2),$$

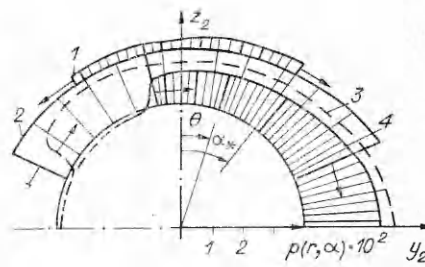


Рис. 3

которая получена экспериментально в [2]. Принимая коэффициент Пуассона грунта $\nu_0 = 0,25$, находим параметры Ляме среды $\lambda = \mu = 6,75$ МПа. Параметры волны нагрузки: $P_0 = 2$ МПа, $l =$

уравнения движения оболочки запишем в виде [5]

$$(2.2) \quad \frac{\partial^2 v}{\partial \theta^2} + \frac{\partial w}{\partial \theta} = 0, \quad \frac{\partial v}{\partial \theta} + b^2 \left(\frac{\partial^2 w}{\partial \theta^4} + 2 \frac{\partial^2 w}{\partial \theta^2} + w \right) + (1 + q_*) w + \\ + \beta_1 \frac{\partial^2 w}{\partial t^2} = -\beta_2 p_*(\theta, t).$$

Здесь $\beta_1 = (1 - \nu^2) \rho_0 D^2 R_0^2 / (E l^2)$; $\beta_2 = (1 - \nu^2) \rho D^2 R_0 K_*/(E h)$; $q_* = (1 - \nu^2) R_0^2 L_*/(E h)$; $p_*(\theta, t) = p(\theta, t) \cos \theta$; $p(\theta, t)$ — давление, определяется по формулам (1.2)–(1.5); причем $-\alpha_*(t) \leq \theta \leq \alpha_*(t)$; w_0, v_0 — радиальная и окружная компоненты перемещения оболочки; ρ_0, ν, E — плотность, коэффициент Пуассона и модуль упругости материала оболочки. Для перемещений принимаем начальные условия

$$w(\theta, 0) = \frac{\partial}{\partial t} w(\theta, 0) = v(\theta, 0) = \frac{\partial}{\partial t} v(\theta, 0) = 0 \quad (t = 0).$$

Давление на оболочку несимметрично относительно оси $\theta = 0$, и прогибы отыскиваем в виде разложения

$$(2.3) \quad w = \sum_{m=0}^{\infty} [W_{1m}(t) \cos m\theta + W_{2m}(t) \sin m\theta], \\ v = \sum_{m=1}^{\infty} [V_{1m}(t) \sin m\theta + V_{2m}(t) \cos m\theta].$$

Внешнюю нагрузку раскладываем в ряд

$$(2.4) \quad p_*(\theta, t) = \frac{a_0}{2} + \sum_{m=1}^{\infty} (a_m \cos m\theta + b_m \sin m\theta),$$

$$\text{где } a_m = \frac{1}{\pi} \int_{-\alpha_*(t)}^{+\alpha_*(t)} p(\theta, t) \cos \theta \cos m\theta d\theta; \quad b_m = \frac{1}{\pi} \int_{-\alpha_*(t)}^{+\alpha_*(t)} p(\theta, t) \times \\ \times \cos \theta \sin m\theta d\theta.$$

Выражение для коэффициента постели L_* получено в [6] путем совместного решения уравнений движения оболочки и окружающей упругой среды при действии гармонической волны сжатия, имеет сложную структуру, зависит от физических, геометрических параметров среды и оболочки, от формы деформирования. Здесь используем статический вариант этих коэффициентов

$$(2.5) \quad L_* = L_0 = 2(\lambda + 2\mu)/R_0, \quad L_* = L_m = 4\mu(m+1)/(R_0 m),$$

которые соответствуют осесимметричному движению и движению оболочки с образованием m диаметральных узловых линий.

Подставляя выражения (2.3)–(2.5) в уравнения движения (2.2) и приравнявая коэффициенты при $\sin m\theta$ и $\cos m\theta$ для каждого m нулю, приходим к системе

$$(2.6) \quad \beta_1 \ddot{W}_0 + \omega_0^2 W_0 = -\beta_2 \frac{a_0}{2}, \quad m = 0, \\ \left. \begin{aligned} \beta_1 \ddot{W}_{1m} + \omega_m^2 W_{1m} &= -\beta_2 a_m, & V_{1m} &= -\frac{1}{m} W_{1m} \\ \beta_1 \ddot{W}_{2m} + \omega_m^2 W_{2m} &= -\beta_2 b_m, & V_{2m} &= \frac{1}{m} W_{2m} \end{aligned} \right\} m \geq 1,$$

где $\omega_m^2 = b^2(m^2 - 1)^2 + q_m$; $\omega_0^2 = 1 + b^2 + q_0$; $q_m = (1 - \nu^2) R_0^2 L_m / (E h)$; $q_0 = (1 - \nu^2) R_0^2 L_0 / (E h)$; точка обозначает дифференцирование по времени.

Уравнения (2.6) решаем методом вариации произвольных постоянных

$$(2.7) \quad W_0(t) = -\frac{\beta_2}{2\beta_1\omega_0^*} \int_0^t \alpha_0(\tau) \sin \omega_0^*(t-\tau) d\tau,$$

$$W_{1m}(t) = -\frac{\beta_2}{\beta_1\omega_m^*} \int_0^t a_m(\alpha_*, \tau) \sin \omega_m^*(t-\tau) d\tau,$$

$$W_{2m} = -\frac{\beta_2}{\beta_1\omega_m^*} \int_0^t b_m(\alpha_*, \tau) \sin \omega_m^*(t-\tau) d\tau.$$

Здесь $\omega_0^* = \omega_0/\sqrt{\beta_1}$; $\omega_m^* = \omega/\sqrt{\beta}$. Величина W_1 соответствует движению оболочки как жесткого цилиндра.

С помощью решений (2.7) и формулы $M = \frac{Eh^3}{12(1-\nu^2)R_0^2} \left(\frac{\partial^2 w_0}{\partial \theta^2} - \frac{\partial v_0}{\partial \theta} \right)$ находим напряжения в оболочке. После преобразований выражения для безразмерного перемещения и напряжения изгиба приводим к виду

$$(2.8) \quad w(\theta, t) = W_0(t) - \frac{\Lambda}{h} \sum_{m=2}^{\infty} F_m(\theta, t), \quad \sigma_u(\theta, t) =$$

$$= -\frac{\Lambda}{2R_0} \sum_{m=2}^{\infty} (m^2 - 1) F_m(\theta, t),$$

где $F_m(\theta, t) = \frac{1}{\omega_m^*} \int_0^{t+\alpha_*} \int_{-\alpha_*}^{\alpha_*} p(x, \tau) \cos x \cos m(x-\theta) \sin \omega_m^*(t-\tau) dx d\tau$; $\Lambda = l^2 \rho K_*/(\pi R_0 \rho_0)$. Размерное и безразмерное напряжения связаны соотношением $\sigma_u = \sigma_{u*} (1-\nu^2)/E$.

На рис. 4 представлен график напряжений в оболочке в зависимости от θ в моменты времени $t=0,2$ и $0,3$ (сплошная и штриховая линии). Все вычисления произведены с помощью ЭВМ «Электроника-ДЗ-28». При суммировании рядов (1.2) — (1.4) и (2.8) число членов ряда в частичной сумме Σ_n определялось каждый раз из условия $S_{n+1}/\Sigma_n \leq \leq 0,05$, где S_{n+1} — $(n+1)$ -й член ряда. Напряжения по формуле (2.8) определены в фиксированных точках сечения оболочки в зависимости от времени через интервал $0,05$. Время, необходимое для расчета в заданной точке, составляет ~ 2 мин. По этим данным построены графики на рис. 4.

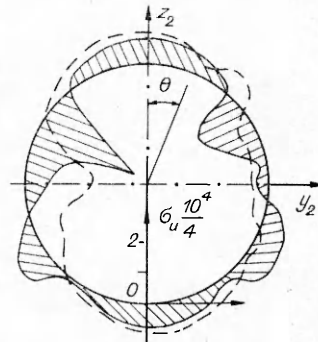


Рис. 4

ЛИТЕРАТУРА

1. Капустянский С. М. Распространение и отражение двумерных пластических волн // Изв. АН СССР. МТТ.— 1973.— № 1.
2. Рыков Г. В., Скобеев А. М. Измерение напряжений в грунтах при кратковременных нагрузках.— М.: Наука, 1978.
3. Зволинский Н. В., Рыков Г. В. Отражение пластической волны от преграды // ПММ.— 1963.— Т. 27, вып. 1.
4. Ковшов А. Н., Скобеев А. М. Отражение пластической волны, падающей под углом на жесткую стенку // Изв. АН СССР. МТТ.— 1973.— № 1.
5. Власов В. З. Общая теория оболочек.— М.; Л.: Гостехиздат, 1949.
6. Якупов Р. Г. Коэффициент «постели» в задачах взаимодействия цилиндрической оболочки с окружающей упругой средой // Взаимодействие оболочек с жидкостью: Тр. семинара.— Казань: Казан. физ.-техн. ин-т АН СССР, 1981.— Вып. 15.

г. Уфа

Поступила 17/II 1989 г.,
в окончательном варианте — 20/VI 1990 г.